Estructura interna de enanas blancas mediante un modelo politrópico

Nicolás Pan
Facultad de Ciencias
UDELAR
Montevideo, Uruguay
nicolaspan.op@gmail.com

Resumen—La evolución post secuencia principal de estrellas de masas menores a $8M_{\odot}$ finaliza en una enana blanca, estas son estrellas compuestas por un núcleo degenerado el cual soporta la estructura por el efecto de la presión de electrones degenerados. Estos medios se modelan con modelos politrópicos para la presión. En este trabajo nos centramos en la resolución numérica de la ecuación de Lane Emden utilizando el método de Runge-Kutta de orden 4 implementado en Python. Obtuvimos perfiles de densidad y presión para distintos índices politrópicos. Además, calculamos las constantes politrópicas de las soluciones obtenidas, útiles en el estudio de los polítropos. Por último, discutimos brevemente la estructura del núcleo de una enana blanca utilizando un modelo politrópico de índice n=1,5 para dos composiciones distintas de enanas blancas.

I. Introducción

Cuando miramos al cielo en una noche despejada podemos observar una cantidad enorme de puntos de luz, los llamamos estrellas. Dos características fácilmente distinguibles a simple vista son el brillo de la estrella y su color, refinaciones técnicas de estas magnitudes observacionales han permitido a los astrónomos clasificar las estrellas en diferentes categorías. Además, el estudio de la astrofísica estelar nos ha permitido entender los procesos físicos que llevan a las diferentes propiedades observadas en las estrellas del cielo. La astrofísica estelar es el estudio de la estructura y la evolución estelar. La forma en que evolucionan las estructuras estelares nos proporciona información sobre los observables que mencionamos anteriormente como el brillo de una estrella. Sin embargo, los tiempos de evolución estelar son lo suficientemente lentos como para que se establezcan equilibrios temporales en los procesos que allí ocurren. [1, p.72]

Asumiremos un modelo simple de estrella como una esfera de gas simétrica, aislada, únicamente descrita por la coordenada radial.Bajo estas condiciones y, de forma estática, la estructura interna de una estrella esta descrita por la resolución del siguiente sistema de ecuaciones diferenciales

$$\frac{dP}{dr} = -\rho \frac{Gm}{r^2} \tag{1}$$

$$\frac{dm}{dr} = 4\pi r^2 \rho \tag{2}$$

$$\frac{dT}{dr} = \frac{-3}{4ac} \frac{\kappa \rho}{T^3} \frac{F}{4\pi r^2} \tag{3}$$

$$\frac{dF}{dr} = 4\pi r^2 \rho q \tag{4}$$

donde 1 representa el equilibrio hidrostático entre las presiones que sostienen a la estrella y el colapso gravitatorio, 2 es la ecuación de continuidad, 3 es la ecuación de transferencia radiativa y 4 es la ecuación de equilibrio térmico entre la energía que emite y que produce la estrella.

Además de estas ecuaciones, debemos modelar algunos de los parámetros presentes en las ecuaciones que dependen de las variables termodinámicas del problema. Así, asumimos las siguientes relaciones

$$P = \frac{R}{\mu}\rho T + P_e + \frac{1}{3}aT^4$$
 (5)

$$\kappa = \kappa_0 \rho^a T^b \tag{6}$$

$$q = q_0 \rho^m T^n \tag{7}$$

donde las constantes en las ecuaciones 6 y 7 dependen de la composición del material y las reacciones nucleares que allí se estén produciendo. Notemos que para la presión estamos asumiendo contribuciones a la presión dadas por un aporte de un gas ideal, de un gas de electrones y la presión de radiación. En cada caso particular del estudio de una estrella deberemos utilizar el termino que sea importante según la situación del material. En el caso que nos importa en este trabajo, la presión en el caso de una enana blanca es la presión de electrones degenerados, se puede probar que esta cumple la siguiente relación

$$P_{e,deg} = K(\frac{\rho}{\mu_e})^{\frac{5}{3}} \tag{8}$$

donde K es una constante¹ y

$$\mu_e \equiv \sum_i X_i \frac{Z_i}{A_i} \tag{9}$$

donde X_i es la fracción de masa de cada especie química, Z_i es el numero de protones de cada una y A_i es el numero bariónico.[1, p.40]

(3)
$${}^{1}K = 1 \times 10^{7} \frac{Nm^{-2}}{(k_{9}m^{-3})^{\frac{5}{3}}}$$

Notemos que las ecuaciones 1 y 2 están relacionadas con 3 y 4 mediante la dependencia de la presión con la temperatura, es decir, una función del tipo P=P(T). Así, si la presión es solamente una función de la densidad y la composición química de la estrella, los pares de ecuaciones quedan desacopladas y pueden ser resueltos de forma independiente. Esto quiere decir que la configuración hidrostática del sistema es independiente del flujo de calor a través de el. Ahora, multiplicando la ecuación 1 por $\frac{r^2}{\rho}$ y derivando respecto a r obtenemos

$$\frac{d}{dr}(\frac{r^2}{\rho}\frac{dP}{dr}) = -G\frac{dm}{dr} \tag{10}$$

Sustituyendo la ecuación 2 del lado derecho obtenemos

$$\frac{1}{r^2}\frac{d}{dr}(\frac{r^2}{\rho}\frac{dP}{dr}) = -4\pi G\rho \tag{11}$$

Decimos que una ecuación de estado es politrópica si es de la forma

$$P = K\rho^{\gamma} \tag{12}$$

donde $\gamma = 1 + \frac{1}{n}$, aquí n es el llamado índice politrópico. Notemos que para el caso de 8, n = 1,5. Sustituyendo 12 y γ en 11 obtenemos

$$\frac{(n+1)K}{4\pi Gn} \frac{1}{r^2} \frac{d}{dr} (\frac{r^2}{\rho^{\frac{n-1}{n}}} \frac{d\rho}{dr}) = -\rho$$
 (13)

Como estamos modelando una estructura estelar deben cumplirse condiciones de borde. En particular que $\rho=0$ en r=R ya que P en la superficie en cero. Además, como el equilibrio hidrostático implica que $\frac{dP}{dr}=0$ en r=0 entonces debe cumplirse que $\frac{d\rho}{dr}=0$ en r=0. [1, p.75]. Es conveniente que definamos la cantidad adimensional θ que cumple $0 \le \theta \le 1$. Así,

$$\rho = \rho_c \theta^n \tag{14}$$

Juntando toda esta información llegamos a que

$$\left[\frac{(n+1)K}{4\pi G\rho_c^{\frac{n-1}{n}}}\right] \frac{1}{r^2} \frac{d}{dr} (r^2 \frac{d\theta}{dr}) = -\theta^n$$
 (15)

Notemos que el termino entre paréntesis rectos es una constante con dimensiones de distancia cuadrada, así definimos

$$\alpha^2 = \frac{(n+1)K}{4\pi G \rho_c^{\frac{n-1}{n}}} \tag{16}$$

y usamos esta cantidad α para reemplazar r por una cantidad adimensionada ξ ,

$$r = \alpha \xi \tag{17}$$

Sustituyendo esta cantidad en la ecuación obtenemos la ecuación de Lane-Emden

$$\frac{1}{\xi^2} \frac{d}{d\xi} (\xi^2 \frac{d\theta}{d\xi}) = -\theta^n \tag{18}$$

con las condiciones de borde $\theta = 1$ y $\frac{d\theta}{d\xi} = 0$ en $\xi = 0$.

Curiosamente, esta ecuación diferencial tiene soluciones analíticas para tres valores del incide politrópico. Para n = 0 vale

$$\theta(\xi) = 1 - \frac{\xi^2}{6} \tag{19}$$

y para n = 1 vale

$$\theta(\xi) = \frac{\sin(\xi)}{\xi} \tag{20}$$

la última solución analítica la podemos obtener para n=5 pero es una solución sin significado físico por lo que no escribimos la expresión. Naturalmente, la solución de esta ecuación tiene una raíz que llamaremos ξ_1 que se alcanza cuando r=R por lo que

$$R = \alpha \xi_1 \tag{21}$$

Se pueden probar diversas relaciones con este modelo politrópico. La masa de un polítropo de índice n esta dada por

$$M = -4\pi\alpha^3 \rho_c \xi_1^2 (\frac{d\theta}{d\xi})_{\xi_1}$$
 (22)

además, eliminando α con la ecuación 21 se obtiene una relación lineal entre la densidad central de una estrella y la densidad promedio de la forma

$$\rho_c = D_n \bar{\rho} = D_n \frac{M}{\frac{4}{3}\pi R^3} \tag{23}$$

donde la constante politrópica D_n es

$$D_n = -[(\frac{3}{\xi_1} (\frac{d\theta}{d\xi})_{\xi_1}]^{-1}.$$
 (24)

Definiendo las constantes politrópicas $M_n = -\xi_1^2 (\frac{d\theta}{d\xi})_{\xi_1}$ y $R_n = \xi_1$ se puede probar la siguiente relación

$$\left(\frac{GM}{M_n}\right)^{n-1} \left(\frac{R}{R_n}\right)^{3-n} = \frac{[(n+1)K]^n}{4\pi G}$$
 (25)

la que nos muestra que el radio R y la masa M de una estrella politrópica cumple la relación de proporcionalidad

$$R^{3-n} \propto \frac{1}{M^{n-1}} \tag{26}$$

es decir que el radio decrece a medida que aumentamos la masa. Por último, se puede probar que se cumple para la presión central la siguiente relación

$$P_c = (4\pi)^{\frac{1}{3}} B_n G M^{\frac{2}{3}} \rho_c^{\frac{4}{3}}$$
 (27)

donde la constante politrópica B_n se define como

$$B_n = \frac{1}{\sqrt[3]{4\pi}G} \frac{\sqrt[n]{4\pi}G}{n+1} \left(\frac{G}{M_n}\right)^{\frac{n-1}{n}} \frac{1}{R_n^{\frac{3-n}{n}}} \left(\frac{3D_n}{4\pi}\right)^{\frac{3-n}{3n}}$$
(28)

De esta forma, podemos conocer bastantes características de una estrella cuya ecuación de estado pueda ser escrita de forma politrópica. El objetivo de este trabajo será entonces resolver la ecuación de Lane-Emden para distintos valores del índice politrópico calculando las distintas constantes politrópicas. Luego aplicaremos algunas de las ecuaciones mencionadas para describir de forma breve la estructura del núcleo de una enana blanca.

II. Métodos

Tal como mencionamos en la sección I el objetivo de este trabajo es encontrar soluciones numéricas a la ecuación de Lane Emden para diversos valores de n, así como calcular los correspondientes valores de las constantes politrópicas que brindan información clave en el estudio de estos objetos. Para ello, notemos que la ecuación 18 contiene derivadas segundas en ξ por lo que usaremos el método estándar de pasar a un sistema de dos ecuaciones diferenciales ordinarias de primer orden. El siguiente sistema es equivalente a la ecuación de Lane-Emden.

$$\frac{d\theta}{d\xi} = \frac{-\phi}{\xi^2} \tag{29}$$

$$\frac{d\phi}{d\xi} = \xi^2 \theta^n \tag{30}$$

donde ϕ es una variable auxiliar que usamos simplemente para la resolución de la ecuación. Para resolver este sistema utilizaremos un algoritmo de Runge-Kutta de 4to orden debido a su fácil implementación.

II-A. Método de Runge-Kutta

De forma general, una ecuación diferencial de primer orden en una variable toma la forma

$$\frac{dx}{dt} = f(x, t) \tag{31}$$

donde f(x,t) es una función que debemos especificar. Nuestro objetivo al resolver una ecuación diferencial de este tipo es, partiendo de una condición inicial $x(t) = x_0$ obtener la solución en un tiempo posterior x(t+h) de forma iterativa. Una idea natural que se nos puede ocurrir es hacer un desarrollo de Taylor, despreciando los términos de orden h^2 obtenemos

$$x(t+h) = x(t) + hf(x,t).$$
 (32)

Este es el conocido como método de Euler. Si bien no obtenemos la solución para todo punto, tomando valores de h cada vez mas pequeños obtenemos una aproximación cada vez mejor. Ahora, podríamos pensar que una forma de mejorar este método es tomar mas términos en la expansión de Taylor pero esto conlleva al inconveniente de que tenemos que conocer la derivada de f(x,t) que no siempre es posible obtener. Sin embargo, podemos hacer una expansión de Taylor al rededor de $t + \frac{1}{2}h$, esto se conoce como el *método de Runge-Kutta* de orden 2. Se puede probar que los términos de orden h^2 desaparecen por lo que el error de este método es menor que para el método de Euler. Se puede llevar esta idea mas lejos, haciendo un desarrollo al rededor de varios puntos y luego tomando combinaciones lineales se pueden lograr eliminar términos de orden h^3 y h^4 , esto se conoce como el *método* de Runge-Kutta de orden 4. El resultado del álgebra es el siguiente [2, p.336].

$$k1 = hf(x, t) \tag{33}$$

$$k2 = hf(x + \frac{1}{2}k1, t + \frac{1}{2}h)$$
 (34)

$$k3 = hf(x + \frac{1}{2}k2, t + \frac{1}{2}h)$$
 (35)

$$k4 = hf(x + k3, t + h)$$
 (36)

$$x(t+h) = x(t) + \frac{1}{6}(k1 + 2k2 + 2k3 + k4). \tag{37}$$

Este es el método mas popular para la resolución de ecuaciones diferenciales ordinarias debido a su gran precisión² de calculo y a su fácil implementación.

Es muy sencillo implementar este método si tenemos un sistema con dos ecuaciones diferenciales de primer orden. De forma general este problema es de la forma

$$\frac{dx}{dt} = f_x(x, y, t) \quad \frac{dy}{dt} = f_y(x, y, t). \tag{38}$$

Utilizamos el mismo algoritmo descrito anteriormente para resolver las dos ecuaciones de forma simultánea. Definiendo $\mathbf{r} = (x, y)$ y $\mathbf{f}(\mathbf{r}, t) = (f_x(\mathbf{r}, t), f_y(\mathbf{r}, t))$ el sistema queda en una sola ecuación de la forma

$$\frac{d\mathbf{r}}{dt} = \mathbf{f}(r, t) \tag{39}$$

sobre el cual aplicamos las ecuaciones 33 - 37 de forma vectorial. Esto nos permite resolver las ecuaciones 29 y 30 de forma sencilla.

II-B. Derivadas

Notemos que algunos de los resultados que llegamos dependen de las derivadas de la función $\theta(\xi)$, en particular los coeficientes D_n y M_n . Recordemos que la definición usual de derivada es

$$\frac{df}{dx} = \lim_{h \to 0} \frac{f(x+h) - f(x)}{h} \tag{40}$$

la cual podemos aproximar en nuestra desretización a

$$\frac{df}{dx} \approx \frac{f(x+h) - f(x)}{h} \tag{41}$$

Así podemos calcular las derivadas de las soluciones halladas para $\theta(\xi)$ para calcular los coeficientes politrópicos que lo requieran.

III. RESULTADOS

Luego de implementar los algoritmos descritos en la sección II en *Python* resolvimos una familia de ecuaciones de Lane-Emden para diversos valores del índice politrópico. Como mencionamos anteriormente, para 3 valores de *n* tenemos soluciones analíticas. Tal como vemos en la figura 1, nuestra solución numérica se ajusta de forma correcta a las soluciones analíticas conocidas.

²Error de orden h⁴

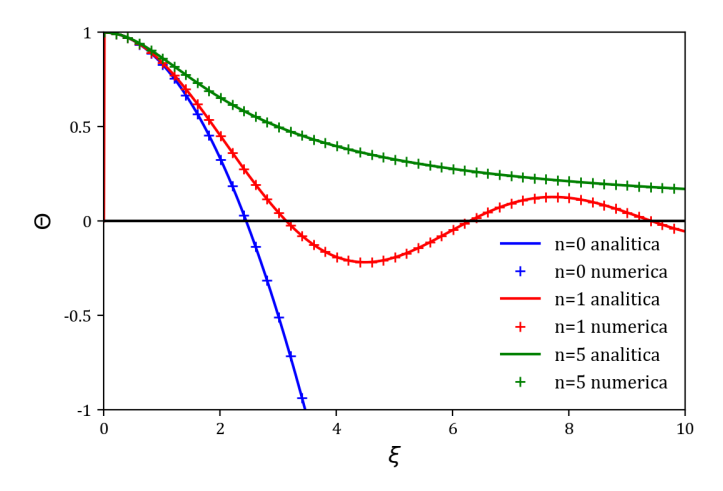


Figura 1: Soluciones analíticas a la ecuación de Lane-Emden superpuestas con las halladas numéricamente para n=0, n=1 y n=5. Vemos que se ajustan de forma correcta.

La gran utilidad que le podemos dar a los métodos numéricos es resolver aquellas ecuaciones que no tienen solución analítica. En la figura 2 vemos las soluciones de la ecuación de Lane-Emden para una variedad mayor de índices politrópicos.

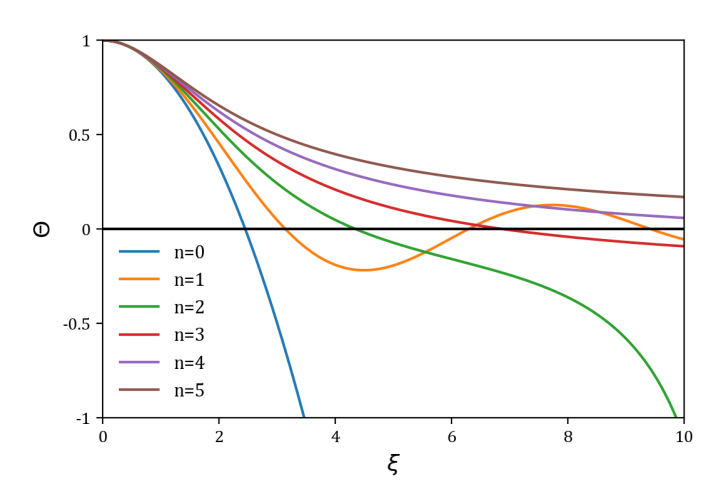


Figura 2: Soluciones numéricas de la ecuación de Lane-Emden para diversos valores de n enteros, observamos como a partir de n = 4 no hay raíces para valores de $\xi < 10$.

Debido a los radicales en las ecuaciones de Lane-Emden con índice politrópico no entero, mostramos las soluciones obtenidas hasta la primera raíz para dichas ecuaciones en la figura 3.

De estas soluciones se obtienen fácilmente los coeficientes R_n . Además, utilizando la ecuación 41 podemos calcular la derivada en cada punto iterado y así obtener los coeficientes M_n y D_n . Por último, con los coeficientes calculados y utilizando la ecuación 28 obtenemos los coeficientes B_n . Los resultados de los coeficientes para algunos índices politrópicos se muestran en la tabla I.

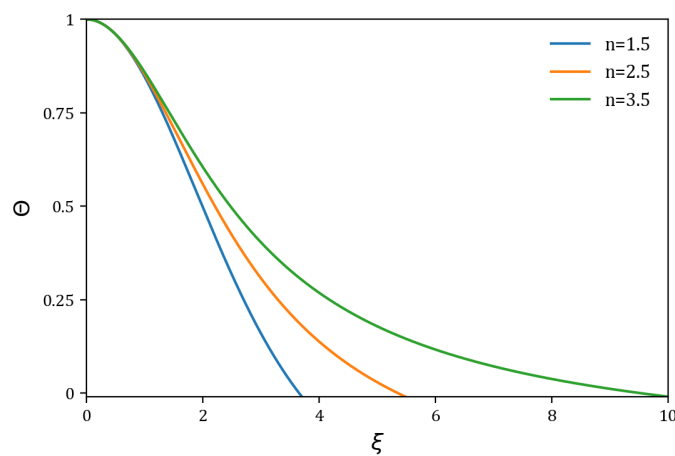


Figura 3: Soluciones numéricas de la ecuación de Lane-Emden para diversos valores de n no enteros.

n	R_n	M_n	D_n	B_n
1.0	3.1429	3.1438	3.2916	0.2330
1.5	3.6544	2.7156	5.9901	0.2055
2.0	4.3537	2.4122	11.403	0.1853
2.5	5.3567	2.1880	23.415	0.1695
3.0	6.8971	2.0188	54.173	0.1565
3.5	9.5365	1.8909	152.89	0.1453

Tabla I: Coeficientes politrópicos para diversos valores de *n* tanto enteros como no enteros. Los valores que hallamos están en concordancia con los tabulados.

Estos valores se ajustan a los coeficientes tabulados, por una referencia se puede consultar [1, p.77].

Ahora, recordando la ecuación 14 podemos calcular los perfiles de densidad. Mostramos en la figura 4 los resultados para algunos valores del índice politrópico.

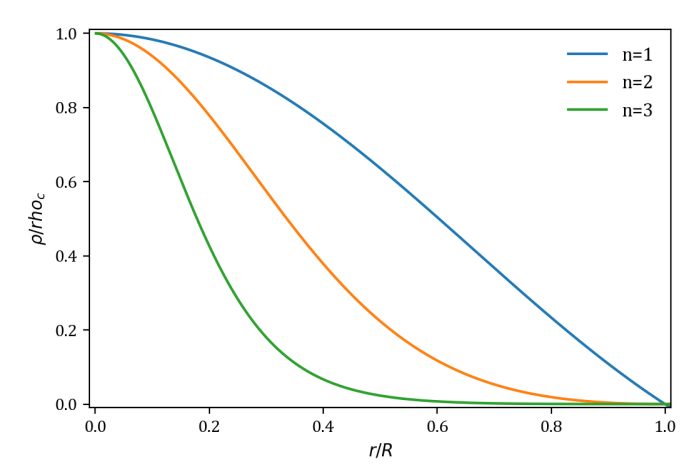


Figura 4: Perfiles de densidad para n = 1, 2, 3. Vemos que a medida que el índice politrópico se hace mas grande, la caída de la densidad se acelera a medida que nos acercamos a la superficie.

Vemos que para cualquier de n la densidad de la estrella

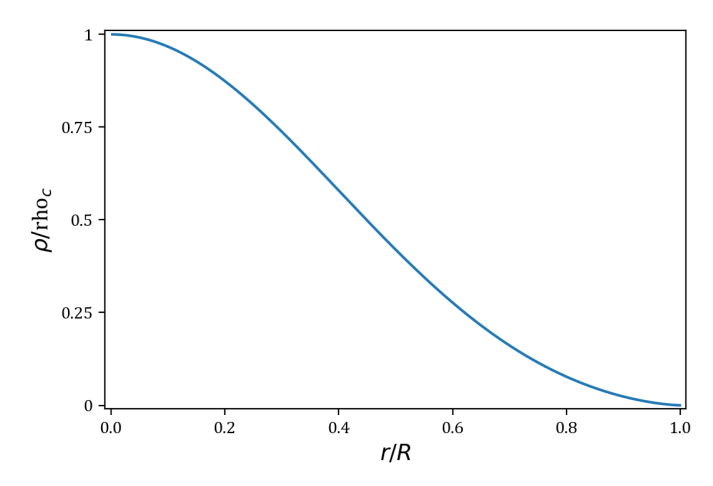


Figura 5: Perfil de densidad en la estructura de una enana blanca, desde el valor central esta cae monótonamente hasta llegar a la superficie.

cae hasta alcanzar un valor nulo en su superficie, tal como esperábamos. Notemos que si bien no aparece en la gráfica, para el caso n=0 la densidad vale la densidad central en toda la estructura. Además, podemos ver que a medida que el incide politrópico aumenta la caída de densidad es cada vez mas rápida en la estructura.

III-A. Enanas blancas

Tal como mencionamos anteriormente, la estructura del núcleo de una enana blanca esta soportada por la presión de electrones degenerados que cumple la relación 8. Usando también que 14 obtenemos

$$P = K(\frac{\rho_c}{\mu_e})^{\frac{5}{3}} \theta^{\frac{5n}{3}}$$
 (42)

Para n=1,5 mostramos el perfil de densidad en la figura 5. Para ver los perfiles de presión en las enanas blancas debemos conocer las constantes de la relación anterior. Podemos estimar ρ_c recordando 23. Utilizaremos algunos valores típicos para la masa y el radio de una enana blanca. Particularmente en este trabajo tomamos $M=0,5M_{\odot}$ y $R=0,01R_{\odot}$. Obtenemos entonces un valor para la densidad central de $\rho_c=4,22\times10^9\frac{kg}{m^3}$ la cual nos muestra que estas estrellas son mas de 4 millones de veces mas densas que el agua.

En cuanto al valor de μ_e , según [1, p.80] para enanas blancas constituidas de C y O μ_e = 2 y para las mismas constituidas de Fe μ_e = 2,15. Con estos valores, se obtienen los perfiles de presión que mostramos en la figura 6.

Observamos cómo los perfiles de presión tienen la misma forma independientemente de la composición de la enana blanca. Notemos que la presión central es menor para el caso de una composición de Fe que para el caso de la composición de C,O. Utilizando 27 obtenemos un valor para la presión central es $P_c = 2.17 \times 10^{22} Pa$, el cual es del mismo orden que los hallados numéricamente.

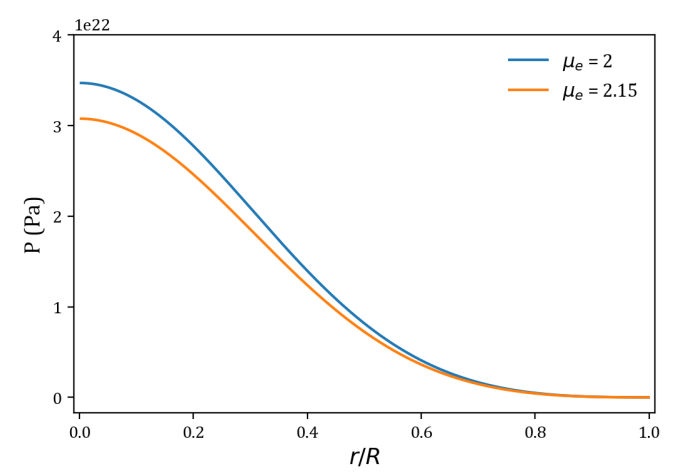


Figura 6: Perfiles de presión para 2 enanas blancas compuestas de C,O ($\mu_e = 2$) y Fe ($\mu_e = 2,15$). Observamos que la forma de la curva es independiente de la composición química de la estrella.

IV. Conclusiones

Logramos a partir del método de Runge-Kutta de orden 4 resolver numéricamente la ecuación de Lane-Emden para un diverso numero de índices politrópicos tanto enteros como no enteros. En particular, mostramos como las soluciones numéricas halladas se ajustan a las soluciones analíticas de los índices que tienen una.

Además, obtuvimos valores para los coeficientes politrópicos que concuerdan con los tabulados, esto permite estudiar los polítropos en mas detalle. Por último, obtuvimos los perfiles de densidad y presión para 2 composiciones de enanas blancas, obteniendo curvas esperables a partir de los perfiles de densidad hallados anteriormente.

V. Anexo

En este anexo aparecen 2 códigos de Python que muestran 63 cómo se hallaron los resultados de este trabajo. 64

V-A. Código que resuelve la ecuación de Lane-Emden y 66 calculamos las raices for i in range(1,len(the ta0num[i]<0 print(0,xipoint)

```
71
2 Este c digo fue escrito por Nicol s Pan Rivero el
                                                            73
     22/10/2021
3 Esta es mi projecto final de F sica Computacional
4 Ultima modificacion: 5/12/2021
                                                            76
                                                            77
6 #Importamos paquetes y funciones que usaremos
                                                            78
7 import matplotlib.pyplot as plt
  from numpy import array, arange, linspace, sin, sqrt, pi
                                                            81
10 #Calidad de la grafica
plt.figure(dpi=200)
                                                            83
                                                            84
13 #Iteramos para varios indices de la ecuacion
                                                            85
  for n in [0,1,2,3,4,5]:
14
                                                            87
       #Definimos el sistema de ecuaciones
16
       diferenciales a resolver:
                                                            89
       def f(r,xi):
                                                            90
           theta=r[0]
18
                                                           91
19
           phi=r[1]
                                                            92
           ftheta = -phi/xi**2
20
                                                           93
           fphi = (xi**2)*(theta**n)
                                                           94
           return array([ftheta,fphi],float)
24
      #Definimos el rango de xi en el que queremos
       integrar
      a = 0.01
      b = 10.0
      N = 5000
28
      h=(b-a)/N
29
      #Definimos el vector de tiempos
30
      xipoints=arange(a,b,h)
32
      #En estas listas iremos guardando la solucion
       thetapoints=[]
34
      phipoints=[]
35
                                                           108
36
      #Definimos las condiciones iniciales
37
38
      r=array([1.0,0.0], float)
      indice=0
39
      for xi in xipoints:
40
41
          thetapoints.append(r[0])
42
           phipoints.append(r[1])
                                                          115
          k1=h*f(r,xi)
43
                                                           116
          k2=h*f(r+0.5*k1,xi+0.5*h)
44
          k3=h*f(r+0.5*k2,xi+0.5*h)
45
                                                           118
          k4=h*f(r+k3,xi+h)
46
                                                           119
          r += (k1+2*k2+2*k3+k4)/6
47
                                                           120
48
      #Vamos graficando para cada valor de n la
       solucion
       plt.plot(xipoints, thetapoints, label='n=%.0f'%n)
50
       #Guardamos las soluciones para cada n
51
      if n==0:
52
           theta0num=thetapoints
53
      if n==1:
54
55
           theta1num=thetapoints
      if n==5:
          theta5num=thetapoints
57
       if n==2:
          theta2num=thetapoints
59
      if n==3:
```

```
theta3num=thetapoints
       if n==4:
           theta4num=thetapoints
 65 raices_n=[]
 for i in range(1,len(theta0num)):
       if (theta0num[i]<0 and theta0num[i-1]>=0):
           print(0, xipoints[i])
           raices_n.append(xipoints[i])
       if (theta0num[i]>0 and theta0num[i-1]<=0):</pre>
           print(0,xipoints[i])
           raices_n.append(xipoints[i])
 74 for i in range(1,len(theta1num)):
       if (theta1num[i]<0 and theta1num[i-1]>=0):
           print(1, xipoints[i])
           raices_n.append(xipoints[i])
       if (theta1num[i]>0 and theta1num[i-1]<=0):</pre>
           print(1, xipoints[i])
           raices_n.append(xipoints[i])
   for i in range(1,len(theta2num)):
       if (theta2num[i]<0 and theta2num[i-1]>=0):
           print(2,xipoints[i])
           raices_n.append(xipoints[i])
       if (theta2num[i]>0 and theta2num[i-1]<=0):</pre>
           print(2,xipoints[i])
           raices_n.append(xipoints[i])
 for i in range(1,len(theta3num)):
       if (theta3num[i]<0 and theta3num[i-1]>=0):
           print(3, xipoints[i])
           raices_n.append(xipoints[i])
       if (theta3num[i]>0 and theta3num[i-1]<=0):</pre>
           print(3,xipoints[i])
           raices_n.append(xipoints[i])
 95 #Nota: Para n=4 ya no tiene raices en el rango de xi
       <10
 97 #Agregamos detalle a la grafica
 98 plt.rc('font', family='Cambria')
 99 plt.xlim([0,10])
plt.ylim([-1,1])
plt.ylabel(r'$\Theta$',fontsize=13)
plt.xlabel(r'$\xi$',fontsize=13)
plt.axhline(y=0.0,c='k')
plt.xticks([0,2,4,6,8,10],[0,2,4,6,8,10])
plt.yticks([-1,-0.5,0,0.5,1],[-1,-0.5,0,0.5,1])
plt.legend(fontsize=11, frameon=False)
107 plt.show()
109 #Vemos las que tienen solucion analitica
xianalitica = linspace(0,10,1000)
111 theta0=[]
112 theta1=[]
113 theta5=[]
for i in range(len(xianalitica)):
       a=1-((xianalitica[i]**2)/6)
       theta0.append(a)
       if i==0:
           h=0
           b=sin(xianalitica[i])/xianalitica[i]
       theta1.append(b)
       c=1/sqrt(1+(xianalitica[i]**2)/3)
       theta5.append(c)
#Graficamos las curvas teoricas con las numericas
       superpuestas
plt.figure(dpi=200)
plt.plot(xianalitica,theta0,'b',label='n=0 analitica
plt.plot(xipoints, theta0num, 'b+', label='n=0 numerica
plt.plot(xianalitica, theta1, 'r', label='n=1 analitica
```

```
+1])/h)
plt.plot(xianalitica,theta5,'g',label='n=5 analitica 2000 dtheta2dphi_xi1=dtheta2dphi[-1]
                                                       D2=-1/((3/raices_n[4])*(dtheta2dphi_xi1))
plt.plot(xipoints, theta5num, 'g+', label='n=5 numerica 202 print('D2=',D2)
                                                       203
                                                       204 dtheta3dphi=[]
134 #Agregamos detalle al grafico
                                                       205 #Calulamos la derivada
                                                       for i in range(len(theta3num[0:3447])):
plt.rc('font',family='Cambria')
                                                              dtheta3dphi.append(-(theta3num[i]-theta3num[i
136 plt.xlim([0,10])
137 plt.ylim([-1,1])
                                                              +11)/h)
plt.ylabel(r'$\Theta$',fontsize=13)
                                                       208 dtheta3dphi_xi1=dtheta3dphi[-1]
plt.xlabel(r'\$\xi\$',fontsize=13)
                                                       209 #print(dtheta3dphi_xi1)
plt.axhline(y=0.0,c='k')
                                                       210 D3=-1/((3/raices_n[5])*(dtheta3dphi_xi1))
plt.xticks([0,2,4,6,8,10],[0,2,4,6,8,10])
                                                       211 print('D3=',D3)
plt.yticks([-1,-0.5,0,0.5,1],[-1,-0.5,0,0.5,1])
plt.legend(fontsize=11,frameon=False)
                                                       213 #Ahora vamos por las Mn:
                                                       214 M1=-1*((raices_n[1])**2)*dtheta1dphi_xi1
plt.show()
                                                       215 M2=-1*((raices_n[4])**2)*dtheta2dphi_xi1
145
  #Ahora graficaremos rho/rho_central en funcion de r/216 M3=-1*((raices_n[5])**2)*dtheta3dphi_xi1
146
                                                       217 print('M1=',M1)
      R para n=1,2,3
                                                       218 print('M2=', M2)
#para r/R tenemos que hacer xi/xi_1
                                                       219 print('M3=',M3)
149 xi1_n1=raices_n[1]
                                                       220
150 xi1_n2=raices_n[4]
                                                       221 #Ahora vamos por las Rn:
151 xi1_n3=raices_n[5]
                                                       222 R1=raices_n[1]
                                                       223 R2=raices_n[4]
153 densidad1 = []
                                                       224 R3=raices_n[5]
                                                       225 print('R1=',R1)
226 print('R2=',R2)
154 densidad2 = []
155 densidad3 = []
                                                       227 print('R3=',R3)
156
#Calulamos rho/rho_c a partir de theta
for i in range(len(thetapoints)):
                                                       229 #Por ultimo las Bn:
      densidad1.append(theta1num[i]**1)
                                                      230 G=6.67e-11 #constante de gravitacion universal
159
       densidad2.append(theta2num[i]**2)
160
      densidad3.append(theta3num[i]**3)
                                                       232 B1=(1/(((4*pi)**(1/3))*G))*(((4*pi*G)**(1/n))/(n+1))
161
                                                              ((G/M1)**(n-1/n))*(1/(R1**((3-n)/n)))*(((3*D1))
xipoints1=[]
                                                              /(4*pi))**((3-n)/(3*n)))
163 xipoints2=[]
                                                       233 print('B1=',B1)
164 xipoints3=[]
                                                       234 n=2
165
  #Renomrbamos los xi dividiendo entre la raiz primera 235 B2=(1/(((4*pi)**(1/3))*G))*(((4*pi*G)**(1/n))/(n+1))
166
                                                              *sqrt(G/M2)*(1/(R2**((3-n)/n)))*(((3*D2)/(4*pi))
  for i in range(len(xipoints)):
167
                                                              **((3-n)/(3*n))
      xipoints1.append(xipoints[i]/xi1_n1)
168
                                                       236 print('B2=',B2)
      xipoints2.append(xipoints[i]/xi1_n2)
169
      xipoints3.append(xipoints[i]/xi1_n3)
170
                                                       237 n=3
                                                       238 B3=(1/(((4*pi)**(1/3))*G))*(((4*pi*G)**(1/n))/(n+1))
171
                                                              *((G/M3)**(2/3))*(1/(R3**((3-n)/n)))*(((3*D3)
#Graficamos y agregamos detalle a la grafica
                                                              /(4*pi))**((3-n)/(3*n))
plt.figure(dpi=200)
plt.plot(xipoints1,densidad1,label='n=1')
                                                       239 print('B3=',B3)
plt.plot(xipoints2,densidad2,label='n=2')
plt.plot(xipoints3,densidad3,label='n=3')
                                                          V-B. Código que resuelve la estructura interna de una enana
plt.xlim([-0.01,1.01])
                                                         blanca.
plt.ylim([-0.01,1.01])
plt.ylabel(r'$\rho_c$',fontsize=13)
                                                        1 """
plt.xlabel(r'$r/R$',fontsize=13)
                                                        2 Este c digo fue escrito por Nicol s Pan Rivero
plt.legend(fontsize=11, frameon=False)
                                                             durante el segundo semestre
plt.show()
                                                          de 2021. Muestro como resolv la estructura de una
183
                                                             enana blanca mediante un
184
                                                        4 modelo politr pico.
  #Calculemos los coeficientes de los politropos
185
186
                                                        6 #Importamos paquetes y funciones
#Comenzamos por el Dn
                                                          import matplotlib.pyplot as plt
188 dtheta1dphi=[]
                                                        from numpy import array, arange, linspace, sin, sqrt,
189 #Calulamos la derivada
                                                             zeros,pi
  for i in range(len(theta1num[0:1568])):
      dtheta1dphi.append(-(theta1num[i]-theta1num[i
191
                                                       10 plt.figure(dpi=200) #Calidad de la figura
       +1])/h)
dtheta1dphi_xi1=dtheta1dphi[-1]
                                                       12 #Indice politr pico para electrones degenerados no
193 D1=-1/((3/raices_n[1])*(dtheta1dphi_xi1))
                                                             relativistas
194 print('D1=',D1)
                                                       13 n=1.5
195
                                                       14
196 dtheta2dphi=[]
                                                       15 #Definimos el sistema de ecuaciones diferenciales a
197 #Calulamos la derivada
                                                              resolver:
for i in range(len(theta2num[0:2174])):
                                                       16 def f(r,xi):
```

```
theta=r[0]
      if theta<0:</pre>
18
          #Nota: este if esta solamente para evitar
19
       problemas al calcular raices
          #de numeros negativos. No es relevante ya
20
       que la soluci n f sica vale
           #hasta que theta se hace cero (r=R).
          theta=abs(theta)
      phi=r[1]
24
      ftheta = -phi/xi**2
      fphi = (xi**2)*((theta)**n)
25
      return array([ftheta,fphi],float)
  #Definimos el rango de xi en el que queremos
      integrar
a = 0.01
30 b=10.0
N = 5000
_{32} h = (b-a)/N
34 #Definimos el vector de tiempos
xipoints=arange(a,b,h)
37 #En estas listas iremos guardando la solucion
38 thetapoints=[]
39 phipoints=[]
41 #Definimos las condiciones iniciales
42 r=array([1.0,0.0], float)
43 indice=0
44 for xi in xipoints:
      thetapoints.append(r[0])
45
      phipoints.append(r[1])
46
      k1=h*f(r,xi)
47
      k2=h*f(r+0.5*k1,xi+0.5*h)
      k3=h*f(r+0.5*k2,xi+0.5*h)
49
      k4=h*f(r+k3,xi+h)
51
      r += (k1+2*k2+2*k3+k4)/6
52
53 #Graficamos y le damos detalle a la figura
54 plt.plot(xipoints[1:1823],thetapoints[1:1823],label= 122 M=0.5*1.989e30
       'n=%.1f'%n)
55 plt.rc('font', family='Cambria')
56 plt.xlim([0,10])
57 plt.ylim([-0.01,1])
plt.ylabel(r'$\Theta$',fontsize=13)
59 plt.xlabel(r'$\xi$', fontsize=13)
plt.axhline(y=0.0,c='k')
of plt.xticks([0,2,4,6,8,10],[0,2,4,6,8,10])
62 plt.legend(fontsize=11)
63 plt.show()
  #Buscamos la raiz de la soluci n y la guardamos en
65
      raiz15
  for i in range(1,len(thetapoints)):
      if (thetapoints[i]<0 and thetapoints[i-1]>=0):
67
          print(n,xipoints[i])
68
          raiz15=xipoints[i]
69
      if (thetapoints[i]>0 and thetapoints[i-1]<=0):</pre>
70
          print(n,xipoints[i])
          raiz15=xipoints[i]
74 #Calculamos la densidad/densidad central
75 densidad15=[]
  for i in range(1823):#Iteramos hasta donde se hace
      negativo el theta
      densidad15.append(thetapoints[i]**(n))
78 xipoints15=[]
  for i in range(1823):
      xipoints15.append(xipoints[i]/raiz15)
82 #Graficamos el perfil de densidad en la estrella
plt.figure(dpi=200)
plt.plot(xipoints15,densidad15)
```

```
85 plt.xlim([-0.01,1.01])
 86 plt.ylim([-0.01,1.01])
 87 plt.ylabel(r'$\rho / $rho$_c$',fontsize=13)
88 plt.xlabel(r'$r/R$',fontsize=13)
 89 plt.yticks([0,0.25,0.5,0.75,1],[0,0.25,0.5,0.75,1])
 90 #plt.legend(fontsize=11, frameon=False)
 91 plt.show()
 93 #Ahora calcularemos el perfil de presion para dos
        composiones qu micas
 94 pn15_mu1=[]
 95 pn15_mu2=[]
97 rho central=4.22e9
100 cte1=(rho_central/2)**(5/3)
cte2=(rho_central/2.15)**(5/3)
102 for i in range (1823):
        pn15_mu1.append(k*cte1*(densidad15[i]**(5/3)))
103
       pn15_mu2.append(k*cte2*(densidad15[i]**(5/3)))
104
plt.figure(dpi=200)
plt.plot(xipoints15[0:1823],pn15_mu1,label='$\mu_e$
plt.plot(xipoints15[0:1823],pn15_mu2,label='$\mu_e$
       = 2.15')
109 #Agregamos detalle a la figura
plt.rc('font',family='Cambria')
plt.ylabel('P (Pa)',fontsize=13)
plt.xlabel(r'$r/R$',fontsize=13)
plt.yticks([0,1e22,2e22,3e22,4e22])
plt.xlim([-0.01,1.01])
plt.legend(fontsize=11, frameon=False)
plt.show()
#Valores para la presion central
119 Pnum = pn15_mu1[0]
120 B15 = 0.2055
121 G = 6.67e - 11
Pteo = ((4*pi)**(1/3))*B15*G*(M**(2/3))*(rho_central)
        **(4/3))
print('El valor estimado para Pc es:',Pteo)
print('El valor hallado numericamente para Pc es:',
   Pnum)
```

REFERENCIAS

- [1] Dina Prialnik. An introduction to the Theory of Stellar Structure and Evolution. 2000.
- [2] Mark Newman. Computational physics. 2013.